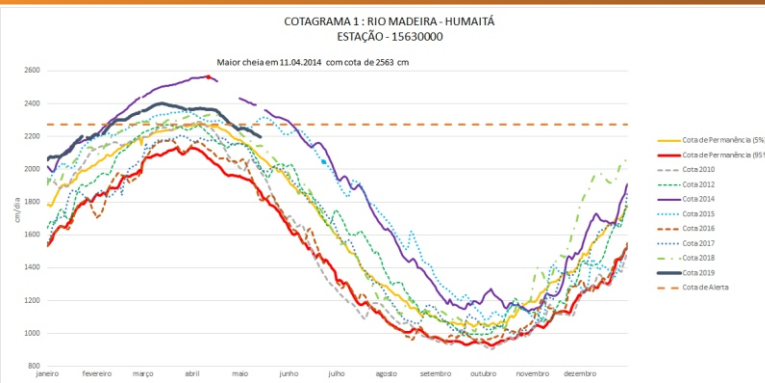


Figura 1: Mapa de Distribuição das Plataformas de Coleta de Dados

A figura 1 ao lado mostra a Localização das Plataformas de Coleta de Dados - PCD's.

Os dados de níveis dos rios entre os dias 13 a 14/05 apontam que:

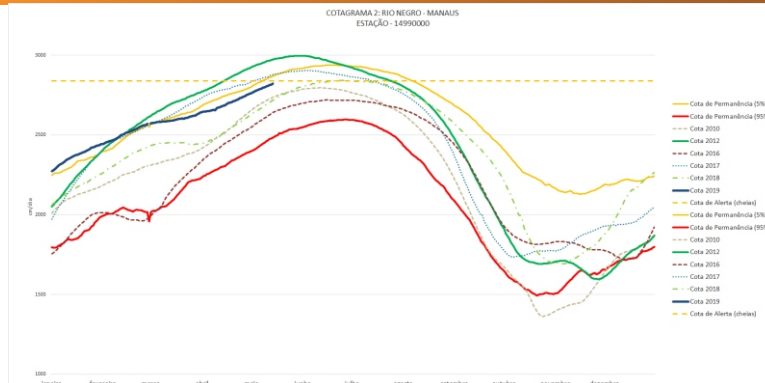
- **Rio Solimões em Manacapuru subiu 4 cm**, se encontra em processo de enchente com seu nível em **1917 cm** e em relação ao ano anterior está a **140 cm** acima.
- **Rio Amazonas em Itacoatiara não variou**, se encontra em processo de enchente com seu nível em **1401 cm** e em relação ao ano anterior está a **94 cm** acima.
- **Rio Juruá em Eirunepé desceu 18 cm**, se encontra cheio com seu nível em **1481 cm** e em relação ao ano anterior está a **89 cm** acima.



O Rio Madeira em Humaitá **desceu 6 cm**, se encontra cheio com seu nível em **2196 cm** e em relação ano anterior está **53 cm** acima.

Para o período, o rio Madeira está com seu nível em estado normal e comparando com a cota de **alerta 2272 cm** está **76 cm** abaixo.

O cotograma 1 mostra o comportamento do rio Madeira em uma determinada série de anos.



O Rio Negro em Manaus **subiu 5 cm**, se encontra cheio com seu nível em **2822 cm** e em relação ano anterior está a **110 cm** acima.

Para o período, o rio Negro está com seu nível em estado normal e comparando com a cota de **alerta 2838 cm** está **16 cm** abaixo. Em 14 de maio de 2012, ano de maior cheia, o rio estava com **2972 cm**. Este ano o rio Negro está **150 cm** abaixo em relação mesmo período de 2012.

O cotograma 2 mostra o comportamento do rio Negro em uma determinada série de anos.

Tabela 1: informações de cotas nas principais calhas dos rios.

Rio	Localização	Cota (cm) Maio/2018		Cota Atual (cm) Maio/2019		Variação (cm)		Cotas de Alerta (Permanência)		Cotas Min Max	Status
		DOM 13	SEG 14	SEG 13	TER 14	2019	2018/2019	5%	95%		
Rio Negro	Manaus	2705	2712	2817	2822	5	110	2838	1737	1363 2997	~
	Curicuriari(SGC)	1357	1366	SL	SL	-	-	1353	697	504 1525	SL
Rio Solimões	Tabatinga	SL	SL	1236	MT	-	-	1257	231	86 1382	MT
	Tefé Missões	782	732	SL	SL	-	-	1424	343	0,08 1602	SL
	Manacapuru	1771	1777	1913	1917	4	140	1955	776	495 2078	~
Rio Amazonas	Itacoatiara	1305	1307	1401	1401	0	94	2096	197	91 2344	~
Rio Purus	Lábrea	SL	SL	SL	SL	-	-	2044	354	130 2179	SL
Rio Juruá	Eirunepé-Montante	1408	1398	1499	1481	-18	83	1625	296	143 1731	~

Abaixo da cota de 95%

Normal

Acima da cota de 5%

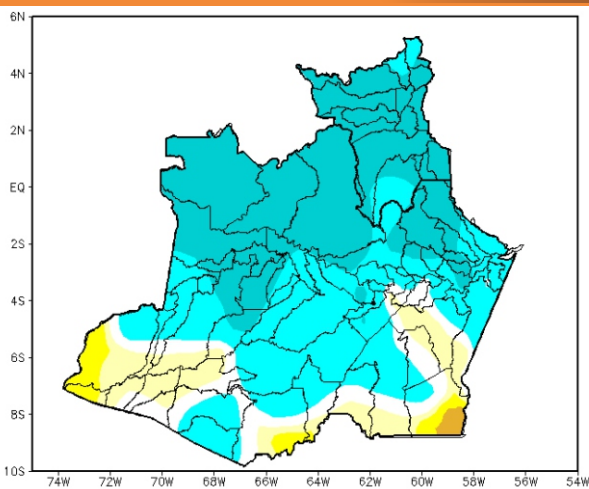


Figura 2: Mapa de Distribuição de Precipitação no Amazonas do período de 06 a 12/05/2019

Durante o mês de maio, a climatologia de precipitação da região Amazônica mostra os valores máximos de chuva (acima de 200 mm/mês) concentrados na porção norte, incluindo a porção central e norte do Amazonas, o estado de Roraima, porção norte do Pará, extremo norte do Maranhão e o estado do Amapá devido à presença da Zona de Convergência Intertropical (ZCIT).

Para o período de 06 a 12 de maio de 2019, verificou-se que os registros de precipitação acima de 50 mm (áreas em tons de azul escuro) se distribuíram sobre a faixa norte do Amazonas. Os menores valores (áreas em tons de amarelo) foram observados na faixa sul do estado, com destaque para os municípios de Apuí, Guajará, Ipixuna e Eirunepé,

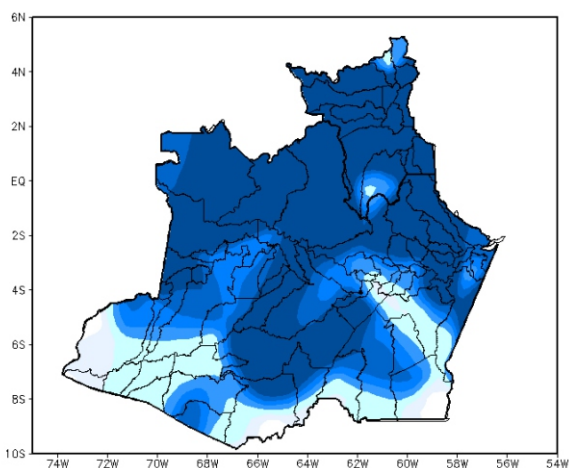


Figura 3: Acúmulo de precipitação no Amazonas do dia 10 a 12/05/2019

A figura 3 mostra o acúmulo de precipitação do dia 10 a 12 de maio, houveram índices maiores de 15 a 25 mm de chuva em grande parte do estado do Amazonas, já nas regiões do extremo sul, sudeste e sudoeste houveram indices de 1 a 15 mm .

Precipitation Forecasts

Mon, 13 MAY 2019 at 00Z -to Tue, 21 MAY 2019 at 00Z

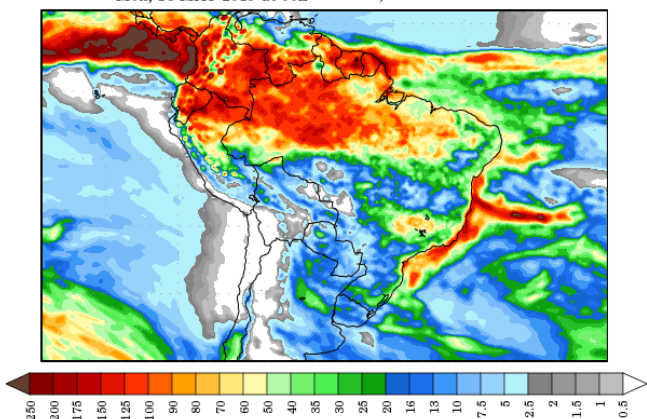


Figura 4: Prognóstico do COLA

Segundo o COLA (Center for Ocean-Land-Atmosphere Studies), o prognóstico de precipitação para o período de 13 a 21 de maio de 2019, indica que intensos volumes de precipitação poderão ocorrer sobre grande parte da Amazônia Legal, principalmente sobre a porção ocidental. O aumento desses volumes pode estar associado à influência da Zona de Convergência Intertropical (ZCIT), que favorece à formação de áreas de instabilidade e à ocorrência de chuvas sobre a região (figura 4).

